

土木研究所 正員 佐々木 康
 " " 〇小笠原 久
 建築研究所 " 古賀 泰之

1. まえがき

地盤の軟弱化特性を調べるのに用いられる前位置調査法は、標準貫入試験等の各種サウンディングと、振動・衝撃等の人工加振により、地盤について一種の前位置試験を行なう方法とに分けられる。筆者らは、この後者の方法の1つとして、地盤の軟弱化特性を深度方向に連続的に調査できる振動式貫入試験機を試作し、土槽を用いた一連の室内試験を実施してきたが、埋立てた砂質土盤に於ける現場実験を行なう機会を得たので、その結果について報告する。

2. 振動式貫入試験機の原理と概要

今回の前位置試験に用いた振動式貫入試験機の機構は、既に別報¹⁾で紹介したように、オランダ式貫入試験機の先端コーン直上部にコンクリート締固め用の棒状バイブレータを封入したものである。このバイブレータで先端コーンに円周方向の振動を与えらるることによって、コーン周辺の地盤の間隙水圧が上昇し、有効応力を低下させる。従って、この状態を保持して計測した貫入抵抗は、コーン直上部のバイブレータを振動させない時の貫入抵抗よりも小さくなる。即ち、砂質土盤に動的な外力が作用した時の間隙水圧の上昇特性を貫入抵抗の低下の程度から同時に計測して、地盤の軟弱化特性を前位置で知ろうとするものである。バイブレータの振動数は200/minであり、先端コーンの外径は、標準のオランダ式貫入試験機の前端コーンより若干大きい(外径41mm)である。なお、現有の試作機ではバイブレータに封入した痛みマスを変換することによって、虚心力を32, 80, 160kgfの3種類に変えることができる。

3. 試験方法と結果の整理方法

本試験機を用いて、バイブレータを作動させない状態の貫入抵抗(以下、 R_c^S と呼ぶ)と、振動を与えつつ計測する貫入抵抗(以下、 R_c^D と呼ぶ)を得る方法には2つの方法がある。その1つは、 R_c^S と R_c^D とを同時に計測した2本の貫入位置でそれぞれ連続して別個に計測する方法である。かう1つの方法は、1本の貫入孔で、バイブレータを断続的に作動させて深さの異なる点で R_c^S と R_c^D とを計測する方法である。前者をA法と呼び、後者をC法と呼んでいる。A法とC法の違いを模式的に図-2に示した。別報²⁾では、室内試験であるからA-B法とC法の両方法を用いたが、前位置の微細な土層構成の変化を考慮して、ここではA-B法によって R_c^S と R_c^D を計測し、これらの値から貫入抵抗の低下の程度を、次の式で定義される貫入抵抗低下率Dで評価する。 $D = (R_c^S - R_c^D) / R_c^S$

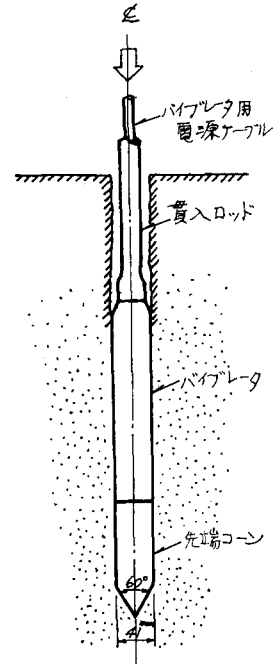
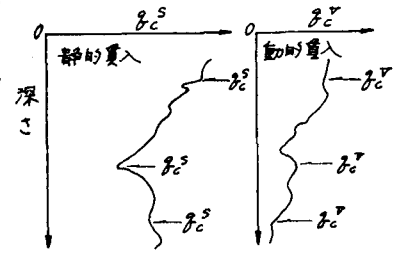
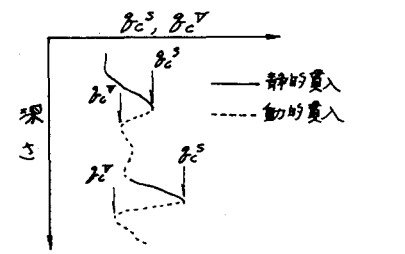


図-1 貫入コーン



A-B法 (此挿した孔で同深度の R_c^S, R_c^D を測定する)



C法 (1本の貫入孔でバイブレータを断続的に作動させ R_c^S, R_c^D を測定する)

図-2 R_c^S, R_c^D の測定方法(模式図)

4. 試験結果

原位置試験を行なった地盤は、ボート船によって埋立てた層厚4m程度の砂質地盤である。その平均N値は3~8程度と比較的ゆるいことから動圧密工法によって締め固め、改良後の平均N値は10~17程度と行った。

図-3, 4にそれぞれ改良前、及び後の γ_c^s と γ_c^D を示した。これらの図には30cm程度離れた地層で行なった標準貫入試験結果もあわせて示した。

これらの図に示すように γ_c^s, γ_c^D の深度方向の分布微妙に変化しており、1m毎に得らる標準貫入試験の結果からは把握しきれない微妙な土層構成の変化が計測されていいる。この計測結果から、図-3, 4に示すよう

うに、比較的 γ_c^s, γ_c^D の均質は3つの層を抽出し、それぞれ層の中で計測した γ_c^s, γ_c^D を深さ10cm毎に読み取って平均的 γ_c^s, γ_c^D を各層毎に求めた。

一方、この埋立て区域内で、オランダ式貫入試験と標準貫入試験の相関性について別途調べた結果から、図-5に示すように $\gamma_c = 5.4 \cdot N$ という関係が得られている。この関係と γ_c の平均値とから、先に述べた3つの層のN値

の改良前後の値を推定し、貫入抵抗低下度Dとの関係を示したものが図-6である。

別紙で報告したように、バイブレータの作動によりコーン周辺の間隙水圧が上昇し、Dが増大することが知られている。従って、この図に示すN値の低下に対応したDの増加は、

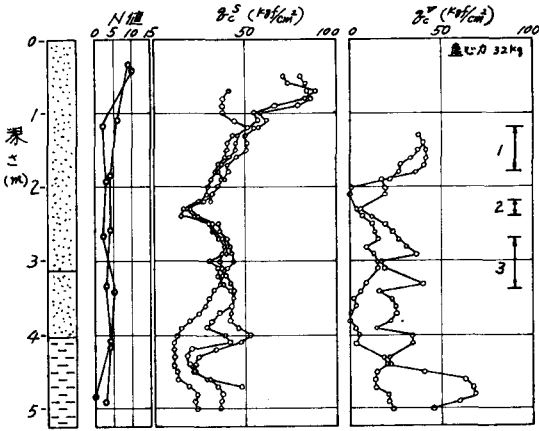


図-3 静的貫入抵抗値, 振動貫入抵抗値 (改良前)

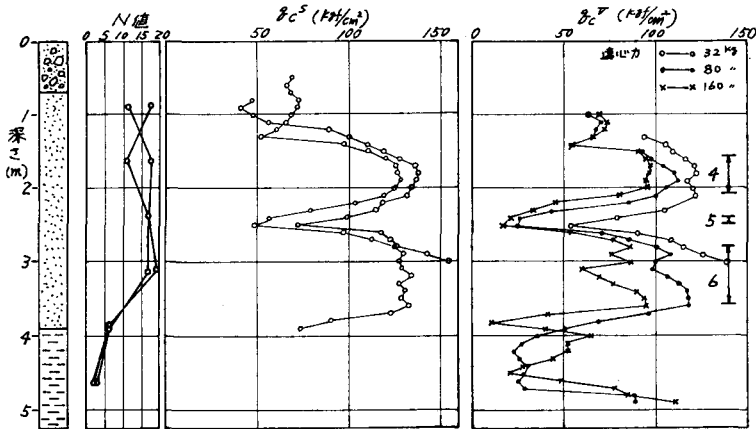


図-4 静的貫入抵抗値, 振動貫入抵抗値 (改良後)

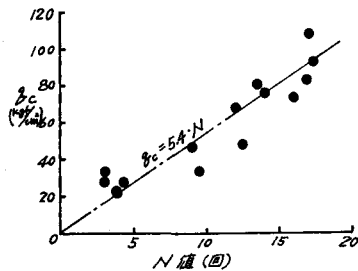


図-5 γ_c とN値の関係

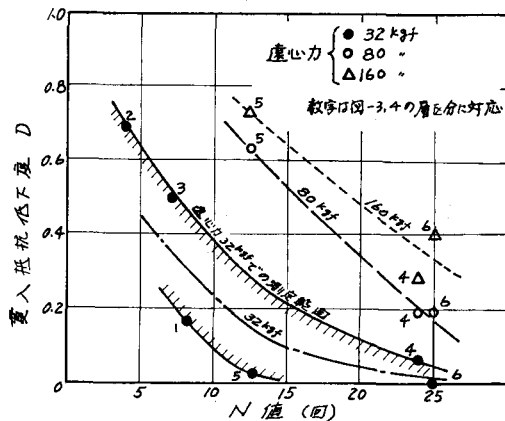


図-6 貫入抵抗低下度とN値の関係

地盤の液状化特性を反映したものに他はならない。細粒分が混じると低めに判定されるN値の傾向は、液状化の予測を誤らせる原因ともなるが、Dの計測によってこのような予測の誤差は無くすることが期待できる。今後、適正な虚心力の設定や、試験方法を確立するために、丁寧の収集に努めたい。

1. 佐々木, 右置, 小笠原; 液状化調査法としての振動式貫入試験機の開発, 17日土壌工学研究発表会 857.6